

# K50-37

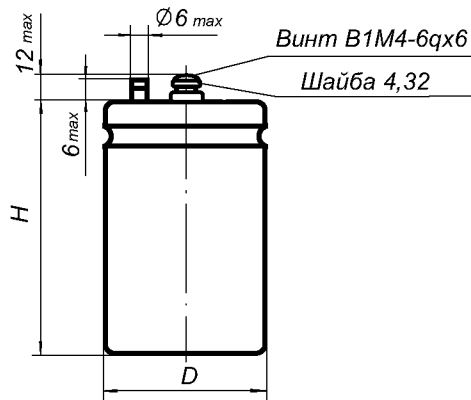
## Оксидно-электролитические алюминиевые

ОЖО.464.239 ТУ приёмка "1"; ОЖО.464.224 ТУ приёмка "5"

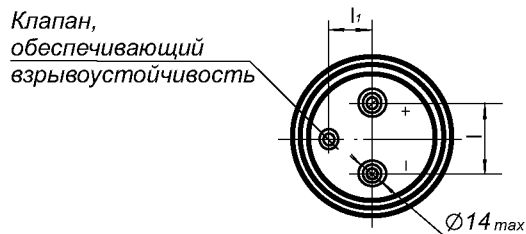
Предназначены для работы в цепях постоянного, пульсирующего тока и в импульсном режиме.

Изготавливаются в климатическом исполнении «В» и исполнении для умеренного и холодного климата.

Номинальное напряжение	3,2 - 250 В
Номинальная емкость	1000 - 470000 мкФ
Допустимые отклонения емкости (20°C, f=50Гц)	- 20...+50 %
Интервал рабочих температур	- 25°C...+70°C
Срок сохраняемости	15 лет
Ток утечки $3,2 \leq U \leq 100$ В $U = 250$ В $CU \leq 10^6$ мкКл $CU > 10^6$ мкКл	0,005CU мкА  0,01CU мкА 0,005CU мкА
Минимальная наработка при Uном и t=+70°C	10 000 часов



Диаметр корпуса, мм	$l_1$ , мм	$l_2$ , мм
40	18	10
50; 65	25	12

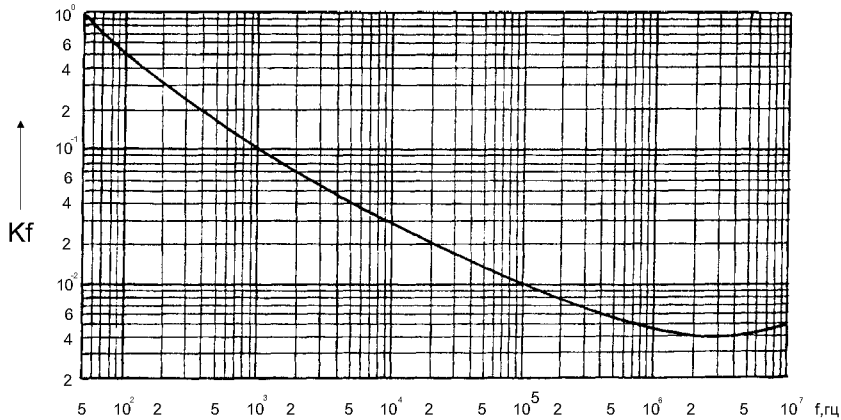


Номинальное напряжение, В	Тангенс угла потерь, %
3,2	120
6,3	80
16	60
25	40
40	35
63	25
100; 250	15

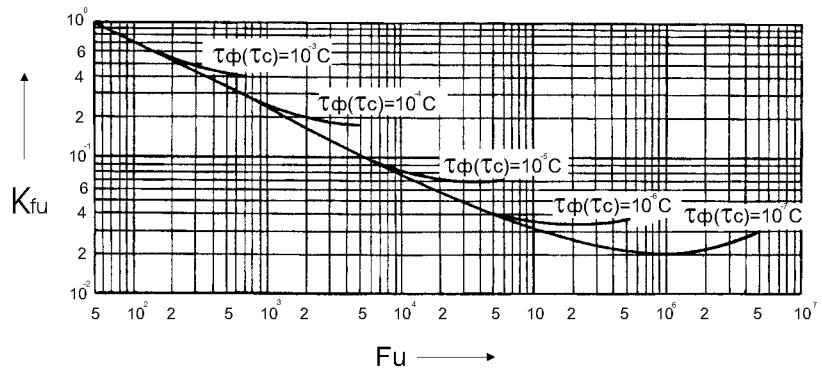
Таблица полного сопротивления конденсаторов на частоте 10 кГц,  $t = +20^\circ\text{C}$

Номинальное напряжение, В	3,2	6,3	16	25	40	63	100	250
Номинальная емкость, мкФ								
1000								0,15
2200							0,09	
4700						0,06	0,05	0,04
10000					0,05	0,04	0,04	
15000				0,04	0,04	0,03	0,035	
22000			0,05		0,03	0,03		
33000				0,03	0,02			
47000					0,02			
68000			0,04					
100000		0,03	0,03	0,02				
220000		0,02						
470000	0,035							

Зависимость коэффициента снижения амплитуды переменной синусоидальной составляющей пульсирующего напряжения  $K_f$  от частоты

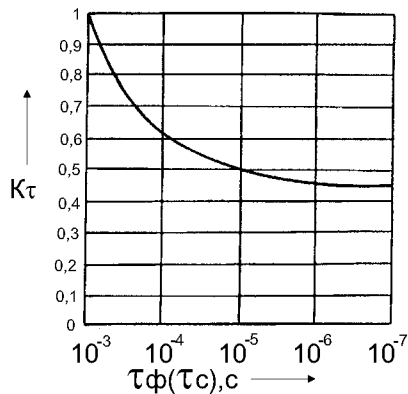


Зависимость коэффициента снижения размаха импульсного напряжения  $K_{fu}$  от частоты следования импульсов  $F_u$  и длительности фронта  $\tau_f$  или спада  $\tau_c$  импульсов



Номинальное напряжение, В	3,2	6,3	16	25	40	63	100	250
Номинальная емкость, мкФ	<i>D x H, мм</i> масса, г							
1000								$\frac{40 \times 92}{250}$
2200							$\frac{40 \times 57}{140}$	
4700						$\frac{40 \times 52}{130}$	$\frac{40 \times 97}{260}$	$\frac{65 \times 142}{850}$
10000					$\frac{40 \times 62}{150}$	$\frac{40 \times 87}{240}$	$\frac{50 \times 122}{450}$	
15000				$\frac{40 \times 67}{160}$	$\frac{40 \times 82}{230}$	$\frac{50 \times 72}{270}$	$\frac{65 \times 122}{735}$	
22000			$\frac{40 \times 57}{140}$		$\frac{50 \times 72}{270}$	$\frac{50 \times 97}{360}$		
33000				$\frac{50 \times 82}{300}$	$\frac{50 \times 102}{380}$			
47000					$\frac{65 \times 87}{520}$			
68000			$\frac{50 \times 92}{340}$					
100000		$\frac{50 \times 82}{300}$	$\frac{50 \times 122}{450}$	$\frac{65 \times 132}{790}$				
220000		$\frac{65 \times 102}{615}$						
470000	$\frac{65 \times 142}{850}$							

Зависимость коэффициента снижения размаха импульсного напряжения  $K_{\tau}$  от длительности фронта  $\tau_{\phi}$  (спада  $\tau_c$ ) импульсов



Характер зависимости полного сопротивления от частоты и температуры

